

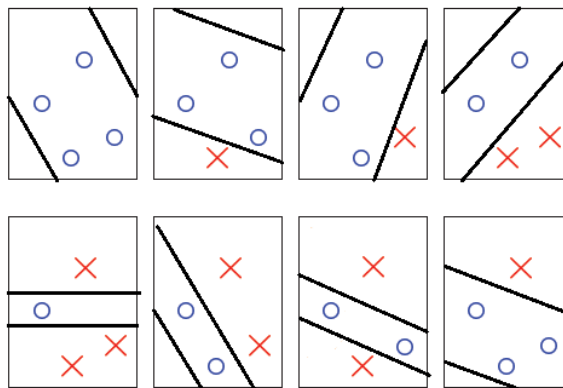
Machine Learning Foundation (NTU, Fall 2018) Homework #2

陳熙 R07922151

1.

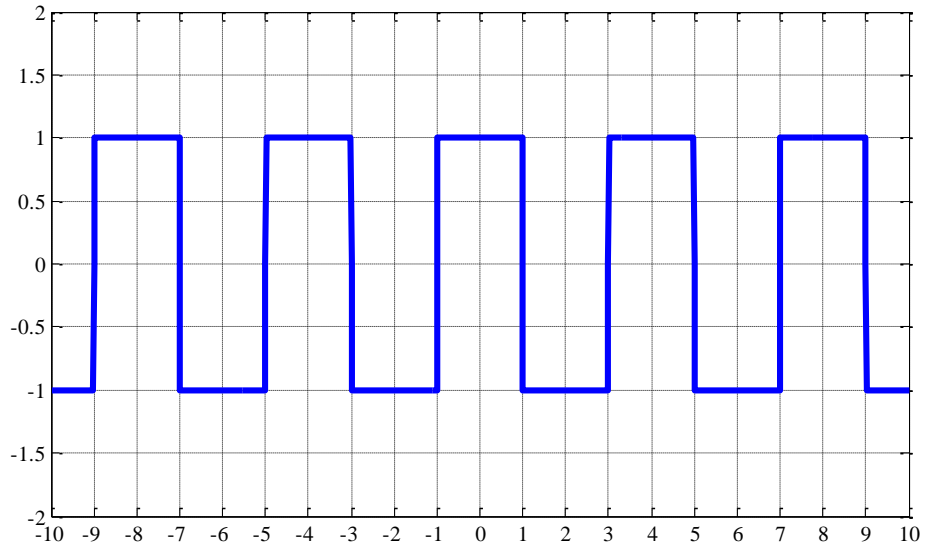


2. $|w_0 + w_1x_1 + w_2x_2| \leq \theta$ 可以寫成 $-\theta \leq w_0 + w_1x_1 + w_2x_2 \leq \theta$ 即 $-\theta - w_0 \leq w_1x_1 + w_2x_2 \leq \theta - w_0$ 。所以，“negative thick line”表示的假說為兩條平行直線之間為+1，其他部分為-1。通過畫圖（剩下的 8 種情況通過翻轉樣本的 y ，以及調整直線位置同樣可以實現）我們可以看到，



當 $N=4$ ，“negative thick line”這個假說可以 shatter。所以，“negative thick line”的 VC-Dimension 至少為 4。

3. “triangle wave”的 VC-Dimension 為無窮大。當 α 為 1 時，圖形如下：



可以觀察到圖形為方波的形狀。而 α 可以任意改變，使得方波的週期可以為任意小。我們就可以使得每個+1 和-1 取值的區間無限小。這樣不管對於怎樣的樣本，我們只要讓 α 取適當值就可以讓樣本落入合適的區間，從而 shatter 所有的二分集合，因此”triangle wave”這個假說的 VC-Dimension 為無窮大。

4. 因為假說集合 \mathcal{H}_1 和假說集合 \mathcal{H}_2 的 intersection 指的是對於相同的 \mathbf{x} 集合， \mathcal{H}_1 和 \mathcal{H}_2 有相同的 y 集合的假說集合。這個部分只有在 \mathcal{H}_2 為 \mathcal{H}_1 子集或者 \mathcal{H}_2 和 \mathcal{H}_1 相同時，這個部分才和 \mathcal{H}_2 相同。其餘情況下，這個部分都僅僅是 \mathcal{H}_2 的一個子集。因此，假說 \mathcal{H}_1 和假說 \mathcal{H}_2 的 intersection 能夠 shatter 的最多就是 \mathcal{H}_2 能夠 shatter 的部分。假說 \mathcal{H}_2 不能 shatter 的部分， \mathcal{H}_1 和 \mathcal{H}_2 的 intersection 一定也不能 shatter。所以，假說集合 \mathcal{H}_1 和假說集合 \mathcal{H}_2 的交集部分的 VC-Dimension 小於或等於假說集合 \mathcal{H}_2 的 VC-Dimension。

5. 與假說 \mathcal{H}_1 相同（假說 \mathcal{H}_2 只是把假說 \mathcal{H}_1 的 y 翻轉），假說 \mathcal{H}_2 的成長函數 $m_{\mathcal{H}_2}(N) = N + 1$ 。假說 \mathcal{H}_1 和假說 \mathcal{H}_2 重複的地方在於 y 全為+1 和全為-1 的情況。因此，有

$$m_{\mathcal{H}_1 \cup \mathcal{H}_2}(N) = 2(N + 1) - 2 = 2N$$

例如，當 $N=3$ 時， \mathcal{H}_1 有的 dichotomy 為

x_1	x_2	x_3
○	○	○
×	○	○
×	×	○
×	×	×

\mathcal{H}_2 有的 dichotomy 為

x_1	x_2	x_3
×	×	×
○	○	×
○	×	×
○	○	○

而 $\mathcal{H}_1 \cup \mathcal{H}_2$ 有的 dichotomy 為：

x_1	x_2	x_3
○	○	○
×	○	○
×	×	○
×	×	×
○	○	×
○	×	×

因此， $\mathcal{H}_1 \cup \mathcal{H}_2$ 出現 break point 的地方為 $N=3$ ，所以 $d_{vc}(\mathcal{H}_1 \cup \mathcal{H}_2) = 2$ 。

6. 因為 $f(x) = \bar{s}(x) + \text{noise}$ ，其中 noise 翻轉了 20% 的結果。令

$$\lambda = P(f(x) = \bar{s}(x) | x),$$

$$P(f(x) | x) = \begin{cases} 0.8, & f(x) = \bar{s}(x) \\ 0.2, & f(x) = -\bar{s}(x) \end{cases}$$

有 $\lambda = 0.8$ 。我們令 $\mu = P(h_{s,\theta}(x) \neq \bar{s}(x) | x)$ ，有

$$\begin{aligned} E_{out}(h_{s,\theta}) &= P(f(x) \neq h_{s,\theta}(x) | x) \\ &= P(\bar{s}(x) \neq h_{s,\theta}(x) | f(x) = \bar{s}(x)) P(f(x) = \bar{s}(x) | x) \\ &\quad + P(\bar{s}(x) = h_{s,\theta}(x) | f(x) \neq \bar{s}(x)) P(f(x) \neq \bar{s}(x) | x) \\ &= P(\bar{s}(x) \neq h_{s,\theta}(x)) P(f(x) = \bar{s}(x) | x) + P(\bar{s}(x) = h_{s,\theta}(x)) P(f(x) \neq \bar{s}(x) | x) \\ &= \mu\lambda + (1-\mu)(1-\lambda) \end{aligned}$$

根據 s 和 θ 不同情況有：

- (1) 當 $s = 1$ ， $0 \leq \theta \leq 1$ 時， $h_{s,\theta}(x) = \text{sign}(x - \theta)$ ，此時因為 x 為在 $[-1, 1]$ 上的均勻分佈， $\bar{s}(x)$ 在 x 大於 0 時為 +1，小於 0 時為 -1。 $h_{s,\theta}(x)$ 在 x 大於 θ 時（不考慮等於的邊界情況，對計算機率無影響）為 +1， x 小於 θ

時為-1。此時，在 $0 \leq x \leq \theta$ 這個區間 $h_{s,\theta}(x) \neq \bar{s}(x)$ ，此時 $\mu = \frac{\theta - 0}{2} = \frac{\theta}{2}$ 。

(2) 當 $s = 1$ ， $-1 \leq \theta \leq 0$ 時，此時，在 $\theta \leq x \leq 0$ 這個區間 $h_{s,\theta}(x) \neq \bar{s}(x)$ ，此時 $\mu = \frac{0 - \theta}{2} = \frac{-\theta}{2}$ 。

(3) 當 $s = -1$ ， $0 \leq \theta \leq 1$ 時， $h_{s,\theta}(x) = -\text{sign}(x - \theta)$ ，此時 $h_{s,\theta}(x)$ 在 x 大於 θ 時（不考慮等於的邊界情況，對計算機率無影響）為-1， x 小於 θ 時為+1。此時，只在 $0 \leq x \leq \theta$ 這個區間 $h_{s,\theta}(x) = \bar{s}(x)$ ，此時 $\mu = 1 - \frac{\theta - 0}{2} = \frac{2 - \theta}{2}$ 。

(4) 當 $s = -1$ ， $-1 \leq \theta \leq 0$ 時，此時，只在 $\theta \leq x \leq 0$ 這個區間 $h_{s,\theta}(x) = \bar{s}(x)$ ，此時 $\mu = 1 - \frac{0 - \theta}{2} = \frac{2 + \theta}{2}$ 。

θ 在其他情況下，全為在 $[-1, 1]$ 區間， $h_{s,\theta}(x)$ 全為+1 或-1，此時 $\mu = \frac{1}{2}$ 。綜上， μ 可以表示為

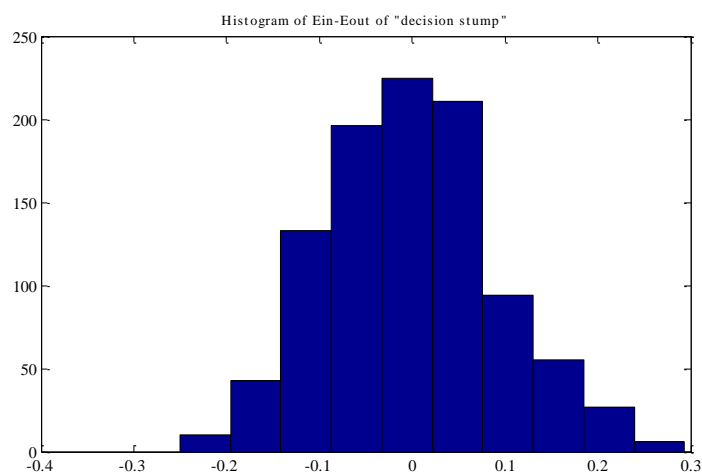
$$\mu = \frac{s+1}{2} \frac{|\theta|}{2} - \frac{s-1}{2} \frac{2-|\theta|}{2} = \frac{s|\theta| - s + 1}{2}。$$

因此，有

$$\begin{aligned} E_{out}(h_{s,\theta}) &= 0.8 \times \frac{s|\theta| - s + 1}{2} + 0.2 \times \left(1 - \frac{s|\theta| - s + 1}{2} \right) \\ &= 0.3s|\theta| - 0.3s + 0.5 \\ &= 0.5 + 0.3s(|\theta| - 1) \end{aligned}$$

7. 可以發現 $E_{in} - E_{out}$ 的分佈接近於零均值的正態分佈。 $E_{in} - E_{out}$ 集中分佈在零點周圍， E_{in} 與 E_{out} 較為接近。因此，在這個樣本中”decision stump”可以通過 minimize E_{in} 實現 minimize E_{out} 。

直方圖如下：



8. 我們通過限制每個 dichotomy 中-1 的數目小於 k (即小於或等於 $k-1$) 從而構造一個 dichotomy 的集合，這樣這個 dichotomy 集合將因為缺少一 N 個點中 k 點全為-1 的 dichotomy，讓這個集合成為無法 shatter k 個點的最大集合。但是再加上任一不同的 dichotomy (這個 dichotomy 中-1 的數目一定會大於或等於 k) 都將 shatter k 個點。這個集合的數目相當於每次從 N 個點中挑選可以為-1 的點的組合數目之和 $\sum_{i=0}^{k-1} \binom{N}{i}$ 。

即 $i=0$ 時， $\binom{N}{0}$ 表示全為+1，無-1 的 dichotomy 的數目，而 $i=1$ ， $\binom{N}{1}$ 表示有一個點為-1，其他 $N-1$ 個點為+1 的 dichotomy 的數目，以此類推，當 $i=k-1$ 時， $\binom{N}{k-1}$ 表示有 $k-1$ 個點為-1 的 dichotomy 數目，因為當集合中有 k 個及 k 個以上-1 的 dichotomy 時，這個集合將 shatter k 個點，所以這個集合的 dichotomy 數目為 $\sum_{i=0}^{k-1} \binom{N}{i}$ 。

綜上， $B(N, k) = \sum_{i=0}^{k-1} \binom{N}{i}$ 。